

Extensive Linear Connectivity and Application in Model Ensemble

1. Introduction

1.1 mode connectivity及两种连接方式

mode connectivity的相关研究试图在两个minima对应的参数 θ_1, θ_2 （minima对应的参数 θ_1, θ_2 被称为mode）之间寻找一个low loss的路径，在寻找路径时，最直接的想法是直接考虑连接 θ_1 和 θ_2 的线段，但是在大多数情况下，连接 θ_1 和 θ_2 的线段上的loss并不总是低的，会存在一个较高的loss，被称为barrier。所以，在寻找连接参数 θ_1, θ_2 的low loss的路径时，并不会直接考虑直线路径，当前研究主要考虑曲线路径[1] [2]或者置换后的直线路径[3]。

曲线路径是指，对于任意的mode θ_1, θ_2 ，计算曲线 $\phi_{\theta_1, \theta_2}(t), t \in [0, 1]$ ， $\phi_{\theta_1, \theta_2}(0) = \theta_1, \phi_{\theta_1, \theta_2}(1) = \theta_2$ 使得 $\forall t \in [0, 1]$ ，参数 $\phi_{\theta_1, \theta_2}(t)$ 对应的loss都很低。在[1]中，通过类似于物理中的Nudged Elastic Band过程计算出了这样的low loss曲线，而在[2]中，将曲线 $\phi_{\theta_1, \theta_2}(t)$ 的类型限制为折线（一般为一折的折线）或者贝塞尔曲线，然后通过优化方法计算出控制折线和贝塞尔曲线的参数。

在考虑置换后的直线路径时，需要注意的是，神经网络满足一定的置换性。考虑 M 层全连接神经网络，神经网络每一层大小为 n_0, \dots, n_M ，其中第0层为输入层，第 M 层为输出层，设参数 θ_i 对应的每一层的参数为矩阵 $W_j^{(i)} \in R^{n_j \times n_{j-1}}, 1 \leq j \leq M$ （为了叙述简便，这里不考虑神经网络偏置 b_j ，实际上讨论类似），第 j 层经过激活函数过后的结果为 $z_j^{(i)} = \sigma_j(W_j^{(i)} z_{j-1}^{(i)})$ ， $z_0^{(i)}$ 表示输入向量。对于任意的置换矩阵序列

$P = \{P_0 = I, P_1, \dots, P_M = I\}$ ，对神经网络 θ_i 进行置换变换得到的新的神经网络 $P(\theta_i)$ ， $P(\theta_i)$ 每一层的参数定义为 $W_{j, \text{new}}^{(i)} = P_j W_j^{(i)} P_{j-1}^T, 1 \leq j \leq M$ 。注意到，新的神经网络 $P(\theta_i)$ 表示的函数和神经网络 θ_i 表示的函数是同一个函数，这个不变性被称为神经网络的 permutation symmetry，而变换 $P(\cdot)$ 被称为神经网络的一个对称变换。

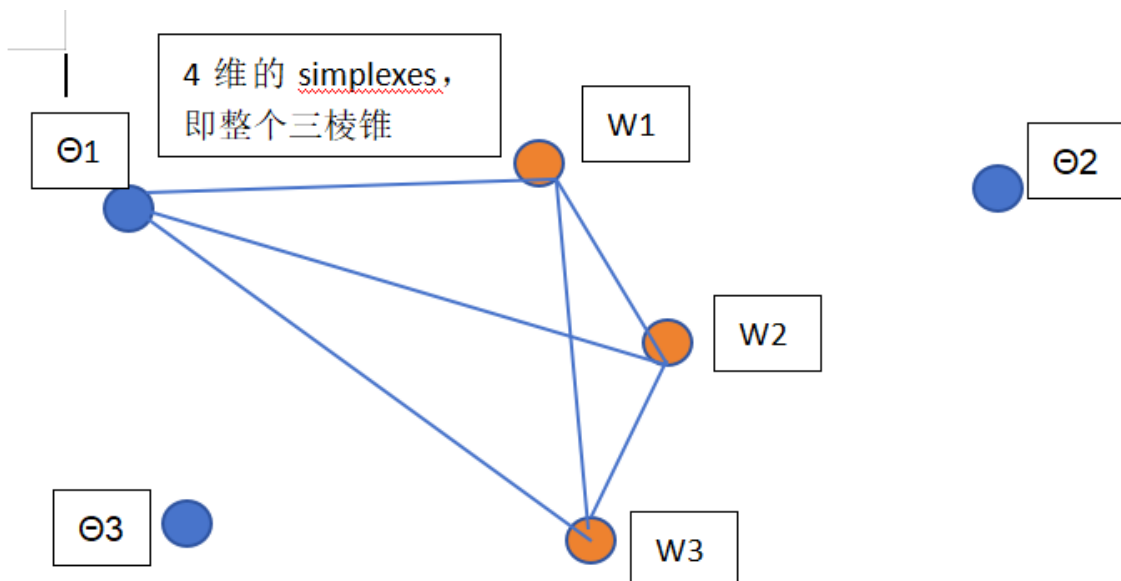
置换后的直线路径是指，对于任意的mode θ_1, θ_2 ，尽管 θ_1 和 θ_2 不存在low loss的直线路径，但是存在一个对称变换 P ，使得 θ_1 和 $P(\theta_2)$ 之间存在low loss的直线路径。[3]给出了三种方法用于计算这样的变换 P 。

需要注意的是，这两种连接方式之间不存在包含关系！！！！！！！！

它们是两种完全独立的连接方式，这也是为什么说曲线连接和直线连接不同的原因（直线连接指经过置换后的直线路径）

1.2 曲线路径连接的扩展： simplexes connectivity

曲线路径的mode connectivity可以扩展到mode simplexes connectivity[4]，在[4]中，将mode之间曲线的连接扩展成了低维数的Simplicial complex的连接（在[4]中，实验验证了进行连接的Simplicial complex的维数一般低于10），simplexes connectivity的具体描述如下为：对于mode $\theta_1, \theta_2, \dots, \theta_i$ ，存在网络的参数 $w_1, \dots, w_k (k < 10)$ ，使得 $\forall 1 \leq j \leq i, w_1, \dots, w_k, \theta_j$ 构成的单纯型（simplex）上的loss都很低，其图示为：



simplexes connectivity可以视为[2]中折线形式的曲线路径mode connectivity连接的扩展，在[2]中折线形式的曲线路径实际上是 $k=1$,即一个网络参数 w_1 ，然后使得单纯型 w_1, θ_1 和单纯型 w_1, θ_2 上的loss很低。所以，这个想法实际上是对曲线路径的一个扩展，我期望将它扩展到置换后的直线路径上去。

1.3 置换后的直线路径连接的扩展： simplexes connectivity

置换后的直线路径来说，需要首先注意到两个性质

性质1：考虑任意对称变换 P ，以及mode $\theta_1, \dots, \theta_n$, 参数 k_1, \dots, k_n , 参数 $\sum_{i=1}^n k_i \theta_i$ 和 $\sum_{i=1}^n k_i P(\theta_i)$ 分别对应的神经网络表示同一个函数

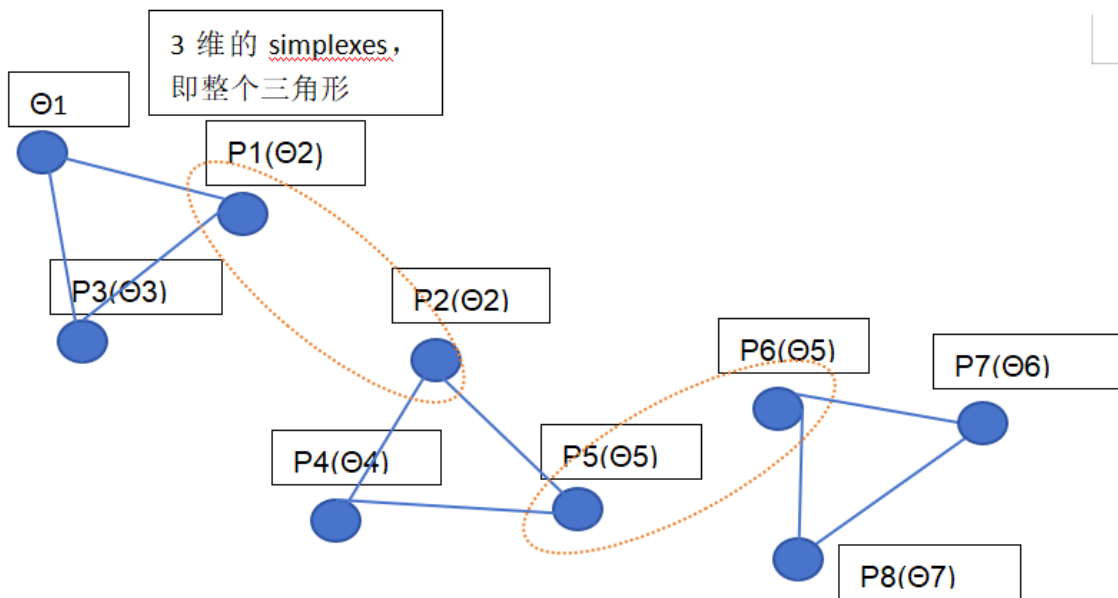
性质2：对于mode $\theta_1, \theta_2, \theta_3$ ，有[3]中的算法知，存在对称变换 P_1, P_2 ，使得 $\theta_1, P_1(\theta_2)$ 之间和 $\theta_1, P_2(\theta_3)$ 之间分别存在low loss的直线路径，但是[3]中的算法并不保证 $P_1(\theta_2), P_2(\theta_3)$ 之间存在low loss的直线路径，更不保证， $\theta_1, P_1(\theta_2), P_2(\theta_3)$ 构成的单形上任意一个参数点是low loss的。

在下面的叙述中，记 $\bar{\theta}_i$ 为等价类 $\{P(\theta_i) | \text{对于任意对称变换 } P\}$ 。

由于变换 P 的高维性，从我的直观上来看，对于一定数量的mode $\theta_1, \theta_2, \dots, \theta_n$ ，可能存在置换 P_1, \dots, P_{n-1} 使得 $\theta_1, P_1(\theta_2), \dots, P_{n-1}(\theta_n)$ 组成的单纯型上任意一个参数点是low loss的，但是和[4]中simplex的维数限制一样，这个 n 可能不会太大。

这里和曲线路径的simplexes connectivity有一个不同，对于mode $\theta_1, \dots, \theta_n$ ，曲线路径的simplexes connectivity，不是使得 $\theta_1, \dots, \theta_n$ 中某些mode组成的simplex上每一点是low loss的，而是找到了一些其他的参数点 w_1, \dots, w_k 使得 $\theta_j, w_1, \dots, w_k$ 组成的simplex上每一点是low loss的。而在置换后的直线路径的simplexes connectivity中，我们是找到置换 P_1, \dots, P_{n-1} 使得 $\theta_1, P_1(\theta_2), \dots, P_{n-1}(\theta_n)$ 组成的单纯型上任意一个参数点是low loss的。

上面提到，在置换后的直线路径的simplexes connectivity中，组成low loss simplex的参数点的数量会比较小，所以我们需要将这些simplex粘合起来，形成一个更庞大的Simplicial complex，粘合的方式非常自然，即通过等价类即可，如下图所示：



虚线的圆圈表示这个圆圈中的节点属于同一个等价类，所以可以将它们视为同一个点，在这个意义上，这些 simplex 粘合成了一个 Simplicial complex。这样，通过对称变换，定义了一个 mode 之间可能新存在的 simplex connectivity 的方式。这个 simplex connectivity 是置换后的直线路径的 connectivity 的扩展。

2. Possible Algorithm

3. Related Work

[1] Essentially No Barriers in Neural Network Energy Landscape

[2] Loss Surfaces, Mode Connectivity, and Fast Ensembling of DNNs

[3] Git Re-Basin: Merging Models modulo
Permutation Symmetries

[4] Loss Surface Simplexes for Mode Connecting
Volumes and Fast Ensembling